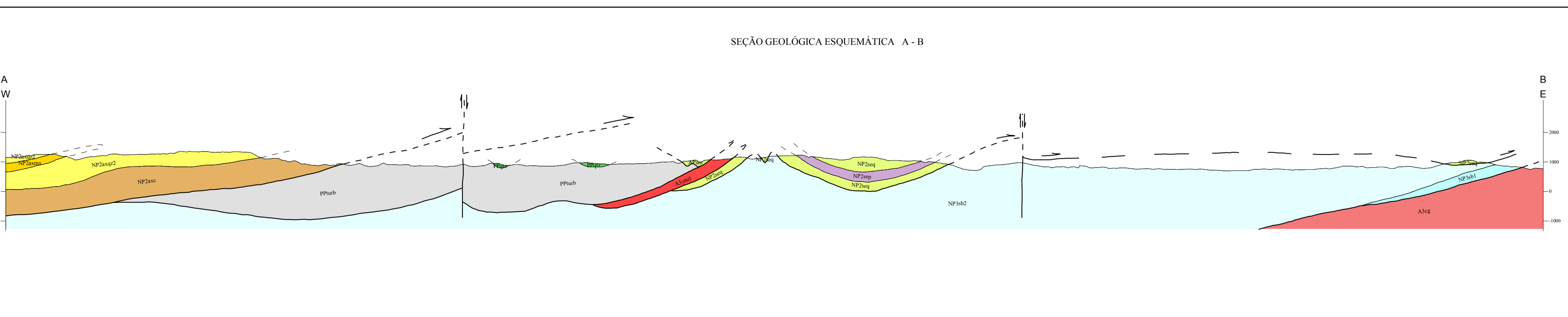


FAIXA BRÁSLIA MERIDIONAL		CRÁTON DO SÃO FRANCISCO	
DOMÍNIO INTERNO		DOMÍNIO EXTERNO	
01	02	03	04
05	06	07	08
09	10	11	12
13	14	15	16
17	18	19	20
21	22		

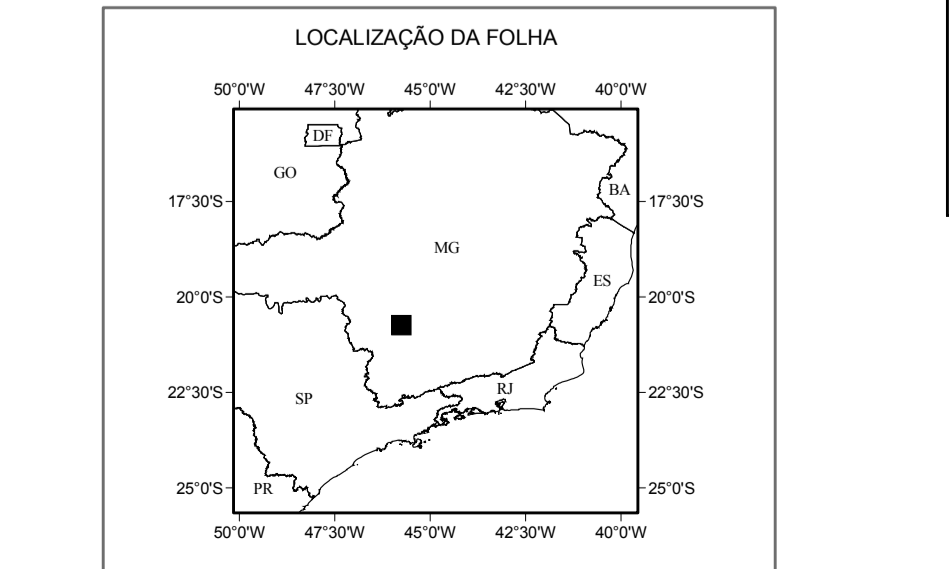
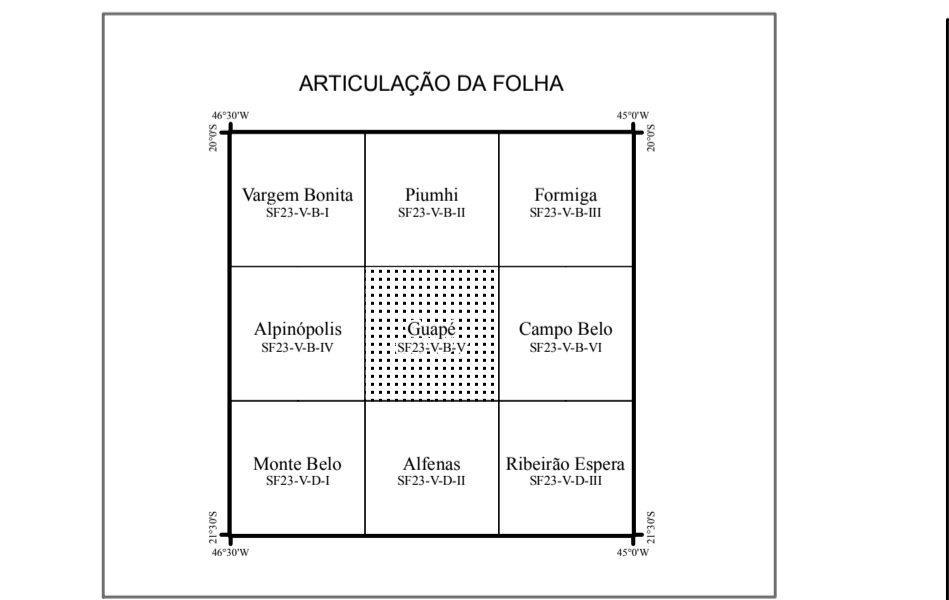
- 01 - Sedimento aluvionar: areias e cascalhos consolidados de várzeas e terraços; lentes de argila
- 02 - Kimberlito: vulcânicos/vulcanícos alcalinos, podendo incluir lamprofios, lamprofios, kamufolios, carbonatitos e rochas afins.
- 03 - Formação Sario Hilário: Metadiamictitos de matriz arenosa ou pelítica com clastos centimétricos a metros de quartzitos, granitos e gnaisses cisalhados; melange tectono-sedimentar
- 04 - Formação Samburá: Metaconglomerado polimítico, com ou sem matriz; metadiamictitos e metapelitos
- 05 - Formação Samburá: Metapelito: maciço ou laminado
- 06 - Grupo Bambuí / Formação Sete Lagoas: Calcarenito calcário cinzento a preto, calcarenitos na maioria
- 07 - Grupo Bambuí / Formação Sete Lagoas: Calcipelitos laminados; rocha laminada de cor rosada ou esverdeada; estratificação tabular ou lenticular
- 08 - Grupo Araxá: Paragneisses: interdigitação de biotita-xistos feldspáticos e paragneisses bandados ou maciços
- 09 - Grupo Araxá: Muscovita xisto: quartzo-muscovita xistos de cor cinza pretada, xistoides anastomosada; intercalações de quartzito micáceo
- 10 - Grupo Araxá: Quartzito Fumas (2): quartzitos finos brancos e plajeados ("pedra mineira" ou "pedra são tomé"); intercalações de muscovita-xisto
- 11 - Grupo Araxá: Calcilíastos: xisto calcílicos com lentes de mármore: muscovita-quartzo xisto e biotita-epidoto-albita filito subordinados; quartzitos finos intercalados
- 12 - Sequência Serra da Boa Esperança: Unidade quartzítica: metapelitos ortognaissícos de grão médio a grosso com raras estratificações cruzadas e marcas de onda; filitos sericiticos subordinados; raras lentes de metaconglomerados quartzíticos (idade máx. 1,0 Ga)
- 13 - Sequência Serra da Boa Esperança: Unidade metapelítica: filitos sericiticos cinzentos ou esverdeados; metarritmido arenoso fino pelito esverdeado
- 14 - Xisto Costas: epidoto-muscovita xisto feldspático vulcanoclastico; homogêneo, granulação grossa (metavulcânica félica, idade U-Pb 1,72 Ga)
- 15 - Sequência Serra da Mamona: metapelitos carbonosos, formação ferrifera bandada, metaconglomerados quartzíticos finos associados a quartzo e sericita filito metapelítico; metaconglomerados grosseiros (idade mínima ca. 2,0 Ga)
- 16 - Metauranífrica croniforme: filitos talcosos e serpentinitos altamente tectonizados, contendo corpos irregulares de cromitito
- 17 - Sequência turbulenta: metapelitos, ritmicos de fácies distal e metapelitos feldspáticos e filitos associados a metapelitos organizados em ciclos grandocrescentes decimétricos; idade < 2,5 Ga; Intercalações de metapelitos quartzitosos (idade U-Pb 2,9 Ga)
- 18 - Granitos e ortogneisses mioelíticos eóu finolitizados
- 19 - Granitos e ortogneisses mioelíticos pouco deformados a fortemente granodiorita a monzogranítica, pouco deformados a fortemente mioelíticos ou calcialcálidos (idade U-Pb 2,9 Ga)
- 20 - Sequência Metavolcanoclastica de Piramita: metabasaltos e metagranitos, metavulcânicos andesíticos a riolíticos, variavelmente deformados, metasedimentos pelíticos e quartzitos subordinados (idade U-Pb > 3,1 Ga)
- 21 - Granitoides Porto Mendes: Rochas granitoides litoplas de cor cinza claro com granulação fina a média, exibindo bordas de ardósia e variados corpos pegmatíticos que lhe conferem um padrão "movimentado". Apresentam composição essencialmente granítica e se classificam como biotita-granitos.
- 22 - Gnaisses Itapetincira: Sequência de gnaisses rosados, migmatizados, de granulação fina a média, exibindo bordas de ardósia e variados corpos pegmatíticos que lhe conferem um padrão "movimentado". Apresentam composição essencialmente granítica e se classificam como biotita-granitos.

- Estruturas**
  - Contato
  - Contato aproximado
  - Falha contracional
  - Anticlinal normal
  - Antiforme invertido
  - Antiforme normal
  - Acamadamento
  - Falha extensional (normal)
  - Testemunho estrutural (Klippe)
  - Falha ou zona de cisalhamento transcorrente sinistral
  - Dique
  - Sinforme invertido
  - Sinforme normal
  - Janela estrutural (fenster)
  - Zona milonítica
  - Bandamento gnáissico
  - Foliação
  - Foliação milonítica
  - Lineamentos obtidos pela geofísica
- Recursos Minerais**
  - Ocorrência
  - Garimpo Ativo
  - Garimpo Inativo
  - Mina Ativa
  - Mina Inativa
  - arg - Argila
  - cal - Calcário
  - cau - Caulim
  - cro - Cromita
  - qtz - Quartzo
  - qz - Quartzito
- CONVENÇÕES CARTOGRÁFICAS**
  - Infraestrutura**
    - Cemitério
    - Edificação
    - Escola
    - Igreja
    - Localidade
    - Propriedade Rural
    - Barragem
    - Linha de Transmissão de Energia
  - Sistema de Transporte**
    - Aruamento
    - Barragem
    - Caminho
    - Estr. s/ pav. traf. periódico
    - Estr. s/ pav. traf. permanente
    - Pista de pouso
  - Hidrografia**
    - Agude; Ilha; Lagoa
    - Represa; Rio Perene
    - Alagado
    - Agude; Lagoa; Represa
    - Brejo
  - Área Urbana**
    - Limite Municipal
    - Cidade



CRÉDITO DA BASE CARTOGRÁFICA

Base Planimétrica digital obtida da carta impressa "GUAPÉ" publicada em 1982 pelo IBGE, ajustada às imagens do Mosaico GeoCover-2 000, ortorectificada e georeferenciada segundo o datum WGS84 de imagens ETM+ do Landsat 7 resultante de fusão das bandas 7, 4, 2 e 8, com resolução espacial de 14,25 metros. Esta base foi editada e atualizada pela Divisão de Cartografia - DICART, para atender ao mapeamento temático do Serviço Geológico do Brasil - CPRM.



**MAPA GEOLÓGICO**  
ESCALA 1:100.000

PROJEÇÃO UNIVERSAL TRANSVERSA DE MERCATOR  
Origem da quilometragem UTM: equador e Meridiano Central - 45 W  
acrescidas as constantes: 10.000.000 e 500.000, respectivamente.  
Datum horizontal: WGS84  
2007  
CONTRATO - CPRM - UERJ 01/PR2005

**AUTORES**  
Claudio de Morisson Valeriano  
Julio Cesar Forta de Almeida, Rudolph Trow, Andre Ribeiro, Fabio Vito Pentagna Pasifilo, Luis Sergio Amarante Simões, Monica Heilbron, Beatriz Paschoal Duarte, Apolena Rossi, Caio Vinícius Galvão Turbay Rangel, Henrique Lacer Rog, Ney Palermo

**COLABORADORES**  
BASE CARTOGRÁFICA DIGITAL  
Julio Cesar Forta de Almeida, Apolena Rossi, Caio Vinícius Galvão Turbay Rangel, Evânia Alves da Silva  
AVALIAÇÃO DE DADOS NO GEOSBANK  
DICEOP: João Henrique Gonçalves, Antonio Rabelo Sampaio, Patricia Duringer Jacques, Maria Angélica Silva B. F. Ramos, Elias Bernard da S. e A. Santo, Adelina Adulna Magalhães, Tatiana Santos Araújo

**REVISÃO DA CARTOGRAFIA GEOLÓGICA**  
DICEOB: Inácio Medeiros Delgado, Reginaldo Alves dos Santos, Nelson Custódio Silveira Filho, Augusto Pedreira  
Apoio Técnico de Campo: (SUREG-SP) Nolan Maia D'Almeida

**REVISÃO DA CARTOGRAFIA DIGITAL E CONTROLE DE ENTRADA DE DADOS NO GEOSBANK**  
DICEOP: João Henrique Gonçalves, Antonio Rabelo Sampaio, Patricia Duringer Jacques, Maria Angélica Silva B. F. Ramos, Elias Bernard da S. e A. Santo, Adelina Adulna Magalhães, Tatiana Santos Araújo

**SUPERVISÃO TÉCNICA**  
Luiz Carlos da Silva

**APÓIO TÉCNICO**  
DICEGO: Colton José dos Santos

**COORDENAÇÃO GERAL**  
Monica Heilbron